

SEPARAÇÃO DE ^{137}Cs COM O TROCADOR FOSFOTUNGSTATO DE AMÔNIO-AMBERLITE IRA-900

Mitiko Yamaura e Harko Tamura Matsuda

Instituto de Pesquisas Energéticas e Nucleares - CNEN/SP
Travessa R, 400 - Cidade Universitária
05508-900, São Paulo, SP, Brasil
Fax(011)816-9325

RESUMO

O presente trabalho descreve a síntese do trocador inorgânico fosfotungstato de amônio dentro da resina aniônica Amberlite IRA900. Prepararam-se colunas cromatográficas com o fosfotungstato de amônio-IRA900 e estudou-se o comportamento de troca iônica para a separação de ^{137}Cs de soluções nítricas. A coluna apresentou boa retenção de ^{137}Cs e uma boa cinética de eluição com solução de nitrato de amônio.

INTRODUÇÃO

Os nuclídeos ^{90}Sr e ^{137}Cs são os dois maiores geradores de calor do rejeito líquido de alta atividade. A remoção desses radionuclídeos reduz consideravelmente o custo com a blindagem e facilita a disposição final do rejeito [1]. Considerando-se tais aspectos, desenvolvem-se no IPEN, trabalhos em participação de rejeito de alta atividade.

Entre as técnicas de separação existentes, a de troca iônica utilizando os sais de heteropolíácidos [2,3,4,5], tais como o fosfomolibdato de amônio e o fosfotungstato de amônio, foi muito estudada dada a estabilidade à radiação e seletividade desses trocadores inorgânicos. Porém, esses sais apresentam uma estrutura microcristalina, limitando o seu uso em colunas cromatográficas. Vários pesquisadores estudaram a possibilidade de sua incorporação em suportes como papel de filtro, asbestos, silica-gel, polímeros orgânicos e mais recentemente, resinas para facilitar o uso em colunas.

O presente trabalho descreve a síntese do trocador inorgânico fosfotungstato de amônio no interior de uma resina aniônica Amberlite IRA-900 e sua aplicação à recuperação de ^{137}Cs de soluções nítricas.

PARTE EXPERIMENTAL

Materiais. Solução básica de fosfotungstato de sódio obtida por dissolução de 5 gramas de $\text{Na}_2\text{WO}_4 \cdot 12\text{H}_2\text{O}$ e 4 gramas de $\text{Na}_2\text{HPO}_4 \cdot 12\text{H}_2\text{O}$ com água destilada em balão de 50 mL

Solução básica de tungstato de sódio obtida por dissolução de 8 g de $\text{Na}_2\text{WO}_4 \cdot 12\text{H}_2\text{O}$ com água destilada em balão de 50 mL.

Resina AMBERLITE IRA900, aniônica forte, macro reticular.

Solução traçadora de césio-137 em meio nítrico, fornecida pelo RADIOCHEMICAL CENTRE, AMERSHAM, Inglaterra.

Todos os demais reagentes utilizados foram de marca Merck, com grau analítico.

Colunas cromatográficas com 4 mm de diâmetro interno e 300 mm de altura.

Equipamentos. Detector NaI(Tl) acoplado ao analisador multicanal ADCAM BUFFER, modelo 918A, da Ortec, EUA.

Titulador Titroprocessor, modelo 636, Metrohm, Suíça.

Procedimento.

Preparação do Trocador Fosfotungstato de Amônio-Resina (PWA-R).

1. Preparação da resina na forma de diferentes ânions tungstatos e fosfotungstatos.

As frações de 5 e 2 mL, respectivamente de soluções básicas de tungstato e de fosfotungstato, foram acidificadas adicionando-se 10 mL de solução nítrica de concentrações variadas a fim de preparar os diferentes ions politungstatos e polifosfotungstatos.

Cada fração não acidificada e acidificada foi contactada com 3 g de resina Amberlite IRA900 (na forma nitrato) e mantida em repouso por 2 horas para a fixação dos ions na resina. Após a contactação, eliminou-se o sobrenadante, e lavou-se a resina com H_2O destilada para retirar os ions intersticiais.

2. Precipitação de fosfotungstato de amônio dentro do grão da resina.

2.1. Precipitação usando resina saturada com íons tungstato e politungstato.

As resinas saturadas na forma de tungstato e politungstato foram contactadas, separadamente, com 5 mL de solução de fosfato de amônio dibásico (pH1) (22 g/L em fósforo) e 5 mL de solução de nitrato de amônio 6N ($H^+=4N$) para a precipitação de fosfotungstato de amônio dentro da resina. Após 18 horas em repouso à temperatura ambiente, a resina foi separada, lavada com água e conservada em solução diluída de nitrato de amônio (0,01N).

2.2. Precipitação usando resina saturada com íons fosfotungstato e polifosfotungstato.

Para a precipitação do trocador contactaram-se as resinas na forma fosfotungstato e na forma polifosfotungstato, separadamente, com 5 mL de solução de nitrato de amônio 10N ($H^+=4N$). Após a precipitação, a resina foi tratada segundo o procedimento descrito no item 2.1.

Preparação da Coluna Cromatográfica. As colunas foram preparadas com 12 cm de altura de leito formado com o trocador inorgânico PWA-R e previamente lavadas com água destilada para retirar os íons de amônio. Cada coluna cromatográfica foi condicionada com HNO_3 , 0,01N antes de sua utilização. Durante todo o experimento utilizou-se uma vazão aproximada de $0,3 \text{ mL} \cdot \text{min}^{-1}$.

RESULTADOS E DISCUSSÃO

Inicialmente, realizaram-se experimentos exploratórios a fim de se observar a viabilidade de precipitação do trocador inorgânico fosfotungstato de amônio dentro da resina aniônica. Preparou-se o trocador PWA-R por contactação da resina com uma aliquote de solução de íons fosfotungstato de sódio ajustado em pH2 e posterior contactação com solução acidulada de nitrato de amônio. Preparou-se um leito cromatográfico com o trocador PWA-R obtido.

Em seguida, percolou-se uma solução nítrica de césio-137 pela coluna. Realizaram-se a lavagem com ácido nítrico 0,01N e a eluição com solução de nitrato de amônio 3N, 4N e 8N.

Os resultados mostraram uma perda apreciável de césio-137 (15-20%) durante a retenção e lavagem e baixa capacidade da coluna. A eluição com solução de nitrato de amônio mostrou-se eficiente com uma cinética de troca favorável dos íons de amônio pelos íons de césio (Fig. 1 e Tabela 1).

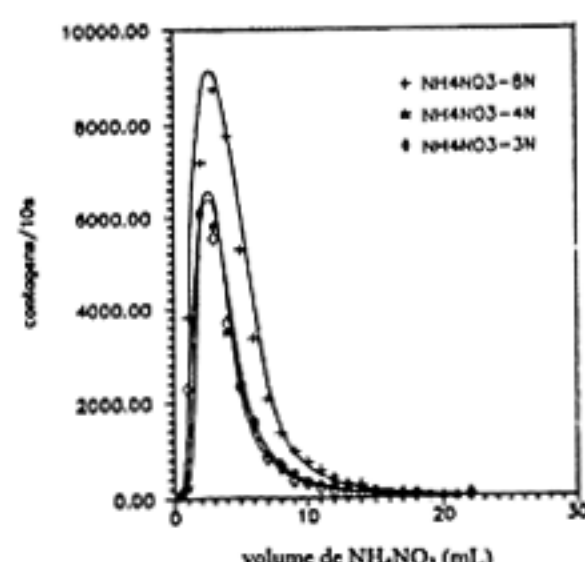


Figura 1. Curva de Eluição de ^{137}Cs com Nitrato de Amônio.

TABELA 1. Recuperação de ^{137}Cs da Coluna com o Trocador PWA-R utilizando o NH_4NO_3 como Eluente.

NH_4NO_3	% recuperação	
N	mL	Césio-137
4	16	87
	22	89
8	12	98
	18	99

Em vista dos resultados de retenção de ^{137}Cs pouco satisfatórios apresentados pelo trocador inorgânico PWA-R como material cromatográfico, estudaram-se as várias condições de obtenção do precipitado. Variaram-se a temperatura e os reagentes de precipitação e, estudou-se a influência dos diferentes íons politungstato e polifosfotungstato para a obtenção de um trocador com as características de troca iônica mais próximas do fosfotungstato de amônio.

A precipitação feita à temperatura ambiente, à quente (60°C), ou utilizando outros reagentes não apresentou diferença significativa. Porém, observou-se grande influência entre os íons de politungstatos e polifosfotungstatos. Das Fig. 2, 3 e 4, observa-se que somente o trocador PWA-R obtido com a resina IRA900 carregada com íons politungstato (pH1) (Fig. 2) proporcionou perdas menores de césio-137 durante a retenção e lavagem.

As Fig. 5, 6, 7, 8 e 9 mostram que o trocador PWA-R obtido com a resina IRA900 carregada com íons fosfotungstato (pH9) (Fig. 9) e os polifosfotungstatos (pH0 e pH8) (Fig. 5 e 8) proporcionou perdas menores de ^{137}Cs durante a retenção e lavagem.

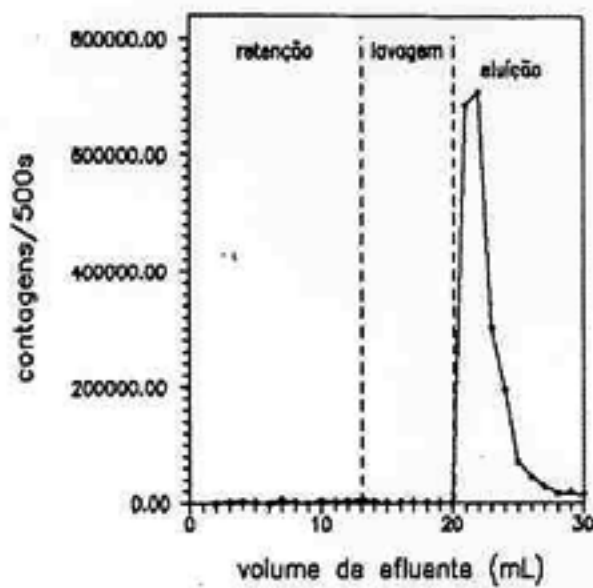


Figura 2. Curva de Retenção e Eluição de ^{137}Cs de Solução Nítrica 0,01 N. Leito: Trocador PWA-R obtido a partir de Íons Politungstato (pH1).

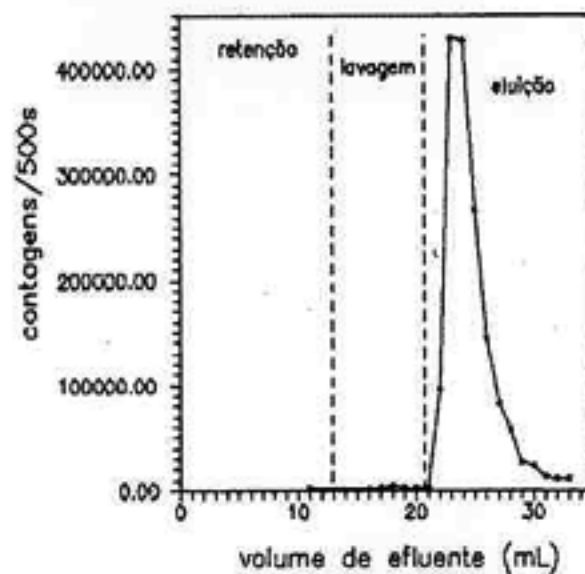


Figura 5. Curva de Retenção e Eluição de ^{137}Cs de Solução Nítrica 0,01 N. Leito: Trocador PWA-R obtido a partir de Íons Polifosfotungstato (pH0).

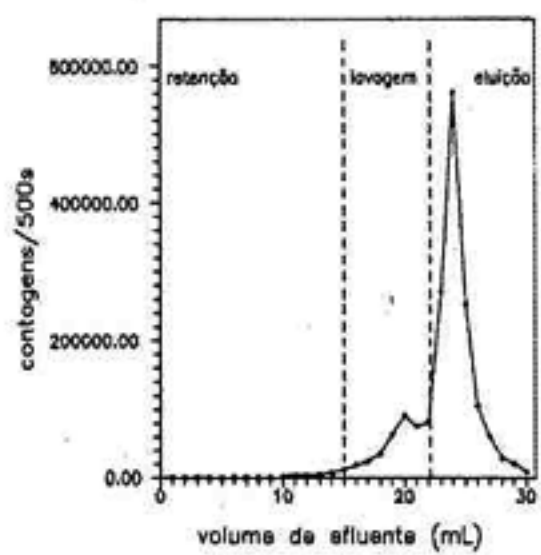


Figura 3. Curva de Retenção e Eluição de ^{137}Cs de Solução Nítrica 0,01 N. Leito: Trocador PWA-R obtido a partir de Íons Politungstato (pH3).

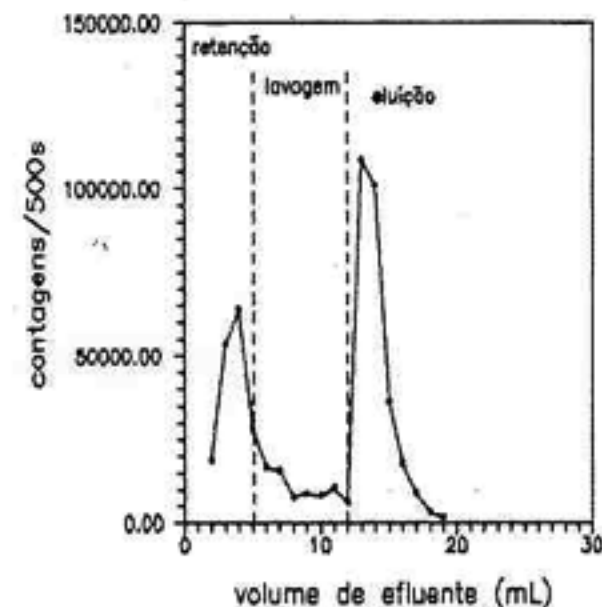


Figura 6. Curva de Retenção e Eluição de ^{137}Cs de Solução Nítrica 0,01 N. Leito: Trocador PWA-R obtido a partir de Íons Polifosfotungstato (pH1).

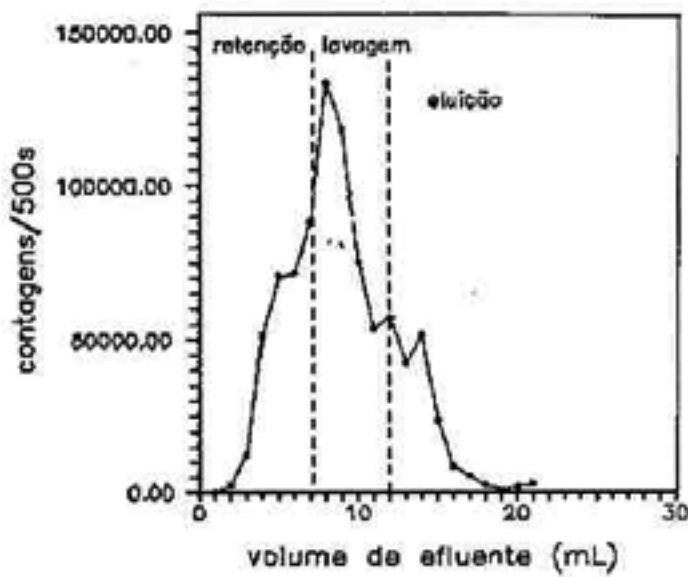


Figura 4. Curva de Retenção e Eluição de ^{137}Cs de Solução Nítrica 0,01 N. Leito: Trocador PWA-R obtido a partir de Íons Tungstato (pH9).

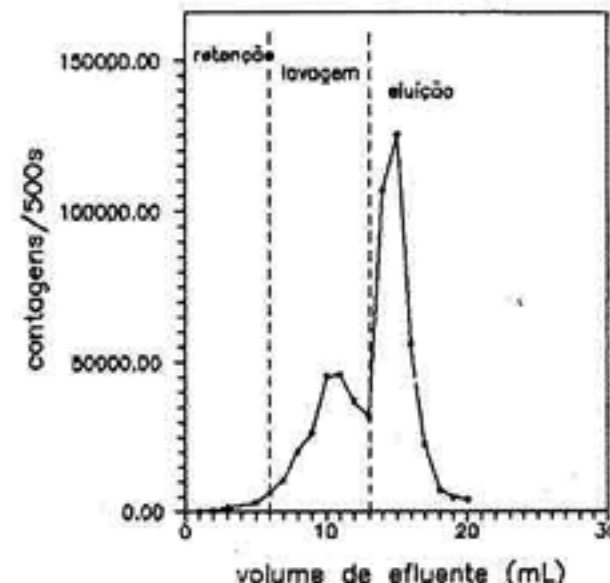


Figura 7. Curva de Retenção e Eluição de ^{137}Cs de Solução Nítrica 0,01 N. Leito: Trocador PWA-R obtido a partir de Íons Polifosfotungstato (pH3).

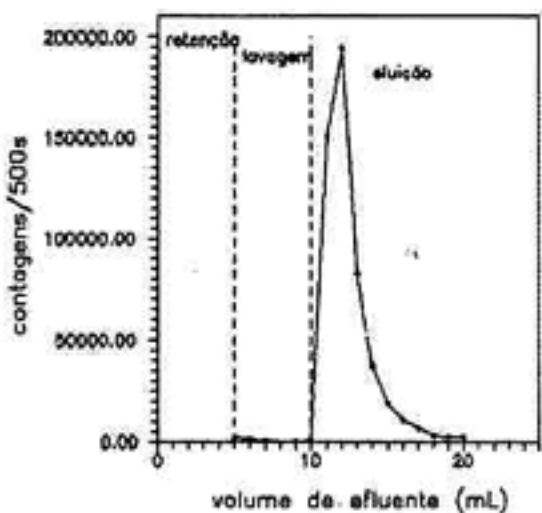


Figura 8. Curva de Retenção e Eluição de ^{137}Cs de Solução Nítrica 0,01 N. Leito: Trocador PWA-R obtido a partir de Íons Polifosfotungstato (pH8).

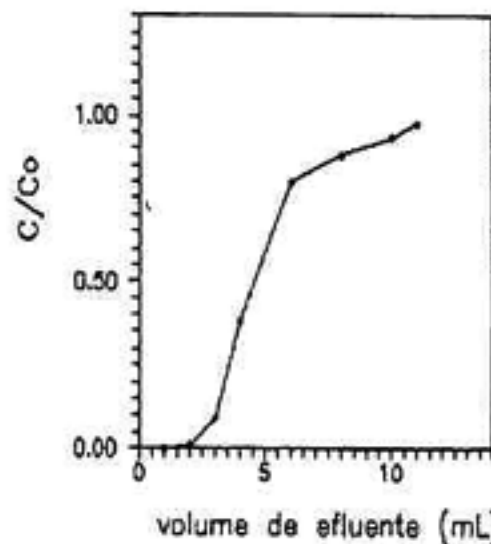


Figura 10. Curva de Quebra para o Cs com o Trocador PWA-R obtido a partir de íons Politungstato (pH1). Leito: 12 cm. Solução Carga: 2,8 ug Cs natural/mL em HNO_3 0,01 N (traçador: ^{137}Cs).

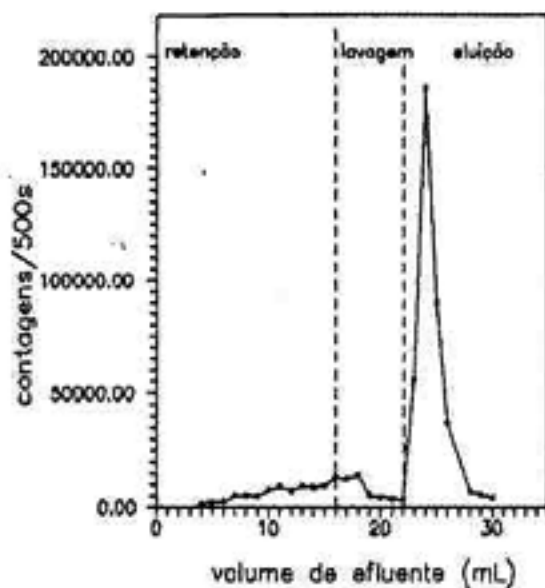


Figura 9. Curva de Retenção e Eluição de ^{137}Cs de Solução Nítrica 0,01 N. Leito: Trocador PWA-R obtido a partir de Íons fosfotungstato (pH9).

TABELA 2. Capacidade de Quebra da Coluna com 12 cm de Trocador PWA-R obtido a partir de Íons Politungstato (pH1).

Quebra	ug Cs/g PWA-R
10 %	14
50 %	22

CONCLUSÃO

A precipitação do fosfotungstato de amônio é facilmente obtida dentro da resina IRA900 aniônica, macroporosa. O precipitado é obtido contactando-se a resina com solução de tungstato ou fosfotungstato e, posteriormente, com solução acidulada de fosfato de amônio ou nitrato de amônio, respectivamente. Porém, somente os precipitados obtidos a partir de resinas contactadas com soluções de tungstato de pH1 e fosfotungstato de pH0 apresentaram boas características de um leito cromatográfico. Os elementos do grupo V e VI da Tabela Periódica exibem uma tendência pronunciada de formar ácidos condensados com a diminuição do pH da solução. Assim sendo, quando as soluções básicas de tungstato e fosfotungstato são acidificadas gradualmente, ocorre uma condensação dos anions com formação de muitos politungstatos e polifosfotungstatos diferentes. Esses diferentes polianions são retidos pela resina IRA900 dando origem aos precipitados de fosfotungstato de amônio com estrutura molecular diferente e consequentemente com propriedades de troca iônica variáveis.

Os trocadores apresentaram boas perspectivas de aplicação na recuperação de césio-137 do rejeito radioativo, e também para a concentração de césio de amostras biológicas e ambientais.

De todos os trocadores, somente aqueles obtidos a partir das resinas IRA900 carregadas com politungstato (pH1) e polifosfotungstato (pH0) proporcionaram as melhores características de leito cromatográfico. Durante a retenção e lavagem da coluna, esses trocadores apresentaram uma perda de césio-137, de aproximadamente 1%, e uma eluição maior que 98%. Obtiveram-se a curva de quebra e a capacidade da coluna utilizando-se o trocador PWA-R (politungstato-pH1) como mostra a Fig.10 e a Tabela 2.

REFERÊNCIAS

- [1] INTERNATIONAL ATOMIC ENERGY AGENCY, Feasibility of separation and utilization of caesium and strontium from high level liquid waste, Technical Reports Series, nº 356, Vienna, 1993
- [2] KRTIL, J., Exchange properties of ammonium salts of 12-heteropolyacids-II, *Journal Inorganic Nuclear Chemistry*, vol. 19, p.298-303, 1961.
- [3] DUTTA ROY, S.; SANKAR DAS, M., Studies on the cation-exchange behaviour of ammonium 12-molybdophosphate, *Analytica Chimica Acta*, vol. 51, p.509-515, 1970.
- [4] MOSKIN, L.N., MEL'NIKOV, V.A., Isolation of radioactive cesium on ammonium phosphomolybdate with polytetrafluoroethylene as binder, *Soviet Radiochemistry*, vol. 16, p.49-51, 1974.
- [5] MURTHY, G.S.; REDDY, V.N.; SATYANARAYANA, J., Isolation of caesium from fission product solution on new complex inorganic exchangers, *Proceedings of the International Conference and Technology Exposition on Future Nuclear Systems: Emerging Fuel Cycles and Waste Disposal Options. Global'93*, Seattle, Washington, USA, p.998-1002, 12-17 sept. 1993.

ABSTRACT

This work describes the synthesis of ammonium phosphotungstate into the Amberlite IRA900 anion exchange resin. Ammonium phosphotungstate-resin beads have been prepared and tested as ion exchange columns for cesium removal from nitric acid solutions. Cesium-137 may easily be desorbed with ammonium nitrate solutions. A good kinetics of ion exchange was observed.